

ขั้นตอนการออกแบบและการสร้างเครื่องทดสอบความคืบแบบแกนเดียว

นาย ทวีช วงศ์กระباءกดา

ศูนย์วิทยทรัพยากร

วิทยานิพนธ์นี้เป็นส่วนหนึ่งของการศึกษาตามหลักสูตรปริญญาวิศวกรรมศาสตรมหาบัณฑิต

สาขาวิชาวิศวกรรมเครื่องกล ภาควิชาวิศวกรรมเครื่องกล

คณะวิศวกรรมศาสตร์ จุฬาลงกรณ์มหาวิทยาลัย

ปีการศึกษา 2546

ISBN 974-17-3965-6

ลิขสิทธิ์ของจุฬาลงกรณ์มหาวิทยาลัย

DESIGN PROCESSES AND CONSTRUCTION OF A UNIAXIAL CREEP - RUPTURE TESTING
MACHINE

Mr. Tawit Wongkrabakthaworn

A Thesis Submitted in Partial Fulfillment of the Requirements
for the Degree of Master of Engineering in Mechanical Engineering

Department of Mechanical Engineering

Faculty of Engineering

Chulalongkorn University

Academic Year 2003

ISBN 974-17-3965-6

หัวข้อวิทยานิพนธ์

ขั้นตอนการออกแบบและการสร้างเครื่องทดสอบความคืบแบบ

แกนเดียว

โดย

นาย ทวีช วงศ์กระباءกหาว

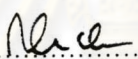
สาขาวิชา

วิศวกรรมเครื่องกล

อาจารย์ที่ปรึกษา

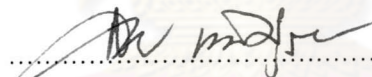
อาจารย์ ดร. จิรพงศ์ กสิริทัย อำนวย

คณะวิศวกรรมศาสตร์ จุฬาลงกรณ์มหาวิทยาลัย อนุมัติให้นับวิทยานิพนธ์ฉบับนี้เป็นส่วน
หนึ่งของการศึกษาตามหลักสูตรปริญญามหาบัณฑิต



คณะดีคณะวิศวกรรมศาสตร์
(ศาสตราจารย์ ดร.สมคักดี ปัญญาแก้ว)

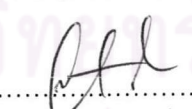
คณะกรรมการสอบวิทยานิพนธ์



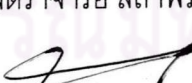
ประธานกรรมการ
(ศาสตราจารย์ ดร.สุวินทร์ พงศ์ศุภสมิทธิ)



อาจารย์ที่ปรึกษา
(อาจารย์ ดร.จิรพงศ์ กสิริทัย อำนวย)



กรรมการ
(รองศาสตราจารย์ สภาพร สุปรีชากร)



กรรมการ
(อาจารย์ ดร.ไพรจัน สิงหานัดกิจ)

ทวิช วงศ์กรະนากถาวร : ขั้นตอนการออกแบบและการสร้างเครื่องทดสอบความคืบ
แบบแกนเดียว (DESIGN PROCESSES AND CONSTRUCTION OF A UNIAXIAL
CREEP - RUPTURE TESTING MACHINE) อ. ที่ปรึกษา : อาจารย์ ดร. จิรพงศ์
กสิวิทย์ จำนวน , 229 หน้า. ISBN 974-17-3965-6.

วิทยานิพนธ์นี้พัฒนาขั้นตอนการออกแบบ และสร้างเครื่องทดสอบความคืบแบบ
แกนเดียว เนื้อหาหลักของวิทยานิพนธ์ประกอบด้วย 3 ส่วน คือ ส่วนที่หนึ่งเป็นการสร้าง
ขั้นตอนการออกแบบ และการออกแบบส่วนประกอบของเครื่องทดสอบ ได้แก่ ชุดให้การะ
คานทดสอบ คาดความร้อน และเครื่องควบคุมอุณหภูมิ เป็นต้น ส่วนที่สองเป็นการสร้างเครื่อง
ทดสอบตามแบบ และส่วนสุดท้ายเป็นการตรวจสอบคุณภาพของเครื่องทดสอบที่สร้าง

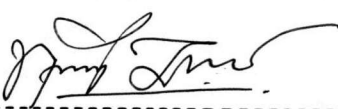
การตรวจสอบคุณภาพของเครื่องทดสอบพบว่า เปอร์เซ็นต์การดัดที่เกิดกับชิ้นงาน
ทดสอบยังมีค่าสูงกว่าค่าที่มาตรฐานกำหนด คือ 10 เปอร์เซ็นต์ เมื่อมาจากการเยื่องศูนย์ของ
ชุดให้การะ อัตราทดสอบของคานทดสอบมีค่าแปรผันอยู่ในช่วง 16.5-21 เท่า เมื่อคานทดสอบเอียง
ทำมุมกับแนวระดับในช่วง 0-10 องศา เดาความร้อนสามารถทำอุณหภูมิสูงสุดได้เท่ากับ
749 องศาเซลเซียส ความเที่ยงในการควบคุมอุณหภูมิของชุดควบคุม ณ อุณหภูมิใช้งาน
(550 องศาเซลเซียส) คือ ± 2 องศาเซลเซียส ซึ่งอยู่ภายใต้เกณฑ์ที่มาตรฐานกำหนด และ
ความแตกต่างของอุณหภูมิที่ผิวชิ้นงานทดสอบในแนวเส้นรอบวง และในแนวแกนบนช่วง
ความยาวเกจ (30 ม.m.) มีค่าไม่เกิน 6 องศาเซลเซียส อย่างไรก็ได้ คุณภาพของเครื่องทดสอบที่
สร้างขึ้นยังไม่ได้พร้อมสำหรับการทดสอบความคืบ เนื่องจากเปอร์เซ็นต์การดัดบนชิ้นงาน
ทดสอบมีค่าสูงกว่าค่าที่ยอมรับ และอัตราทดสอบของคานทดสอบไม่คงที่

ผลที่ได้จากการวิจัยนี้ คือ ขั้นตอนการออกแบบที่สามารถใช้ออกแบบเครื่อง
ทดสอบความคืบแบบแกนเดียวที่มีลักษณะจำเพาะอย่างที่ต้องการได้ และนอกจากนี้ยังได้
ต้นแบบของเครื่องทดสอบความคืบแบบแกนเดียวที่ใช้เป็นแนวทางเพื่อพัฒนาเครื่องทดสอบ
รุ่นต่อไป

ภาควิชา _____ วิศวกรรมเครื่องกล _____

สาขาวิชา _____ วิศวกรรมเครื่องกล _____

ปีการศึกษา _____ 2546 _____

ลายมือชื่อนิสิต _____ 

ลายมือชื่ออาจารย์ที่ปรึกษา _____ 

ลายมือชื่ออาจารย์ที่ปรึกษาร่วม _____

4370307621: MAJOR MECHANICAL ENGINEERING

KEY WORD: CREEP-RUPTURE TESTING / FURNACE / TEMPERATURE CONTROLLER /

QUALITY INSPECTION / PRECISION / ECCENTRIC LOADING

TAWIT WONGKRABAKTHAWORN: DESIGN PROCESSES AND CONSTRUCTION OF
A UNIAXIAL CREEP-RUPTURE TESTING MACHINE. THESIS ADVISOR: JIRAPONG
KASIVITAMNUAY, Ph.D., 229 pp. ISBN 974-17-3965-6.

This thesis develops the design processes and constructs a uniaxial creep-rupture testing machine. The main thesis consists of 3 parts. The first part is the construction of the design processes and the design of the testing machine components such as the loading system, the lever arm, the furnace and, the temperature controller. The second part is the construction of the testing machine according to the design. And, The last part is the quality inspection of the constructed testing machine.

The quality inspection showed that the percentage of the bending strain was greater than the standard value which is 10%, because of eccentric loading system. The lever arm ratio varied from 16.5-21 while the lever arm angle with respect to the horizontal varied from 0-10 degrees. The rated temperature produced by the furnace was 749°C . The precision of the controlled temperature (550°C) of the running test was $\pm 2^{\circ}\text{C}$ which in the standard range. And, the temperature variations on the specimen surface in the circumferential direction and in the axial direction of the gage length (30mm) were less than 6°C . However, the quality of the constructed testing machine is insufficient to conduct any creep-test since the bending strain is greater than the standard value and the lever arm ratio is not constant.

Results of this thesis are the design processes which can be applied to design the specific creep rupture-testing machine as desired. And moreover, the prototype of the uniaxial creep-rupture testing machine which can be modified to develop the next model of the testing machine.

Department Mechanical Engineering

Student's signature

Field of study Mechanical Engineering

Advisor's signature

Academic year ----- 2003 -----

Co-advisor's signature

กิตติกรรมประกาศ

วิทยานิพนธ์ฉบับนี้ได้รับความช่วยเหลืออย่างดียิ่งจาก อาจารย์ ดร.จิราpong กาสิวิทย์ คำนวย อาจารย์ที่ปรึกษาวิทยานิพนธ์ ที่ได้กรุณหาทุนเพื่อสนับสนุนงานวิจัยนี้ และยังถ่ายทอดความรู้ ประสบการณ์ รวมทั้งให้คำแนะนำสำหรับการสอน ด้วยความเมตตา ทั้งในเรื่องการทำงาน การศึกษา เล่าเรียน และการดำเนินชีวิต ดังนั้นผู้วิจัยจึงขอกราบขอบพระคุณเป็นอย่างสูงมา ณ โอกาสันี้ด้วย

ขอกราบขอบพระคุณ ศาสตราจารย์ ดร.สุรินทร์ พงศ์ศุภสมิทธิ์ ประธานกรรมการ รองศาสตราจารย์ สถาพร สุปรีชากร และ อาจารย์ ดร.ไฟโรมัน สิงหานัดกิจ กรรมการ ที่ได้ให้ คำแนะนำ และยึดเครื่องมือที่ใช้ในการดำเนินงานวิจัยนี้

ขอขอบคุณ คุณบัญชา อุนพานิช เจ้าหน้าที่ภาควิชาวิศวกรรมนิวเคลียร์เทคโนโลยี ที่ได้ให้ คำแนะนำในการสร้างอุปกรณ์ควบคุมอุณหภูมิ และขอขอบคุณ คุณไสวณ นาคยงค์ คุณสุบิน ขันตี และเจ้าหน้าที่ฝ่ายซ่างเทคนิคประจำภาควิชาวิศวกรรมเครื่องกลทุกท่าน ที่ให้ความช่วยเหลือ ในการประกอบโครงสร้างของเครื่องทดสอบความต้านทานแบบแกนเดียว รวมทั้งให้คำแนะนำในเรื่อง การผลิตชิ้นงาน การใช้เครื่องจักร และความปลอดภัยในการทำงาน

ประโยชน์ และคุณความดีอันเพิ่มมีจากวิทยานิพนธ์ฉบับนี้ ผู้วิจัยขอขอบเป็นกตัญญูๆ บุชาแด่ บิดามารดา ครูอาจารย์ ตลอดจนผู้มีพระคุณทุกท่าน

**ศูนย์วิทยทรัพยากร
จุฬาลงกรณ์มหาวิทยาลัย**

สารบัญ

	หน้า
บทคัดย่อภาษาไทย.....	๔
บทคัดย่อภาษาอังกฤษ.....	๕
กิตติกรรมประกาศ.....	๖
สารบัญ.....	๗
สารบัญตาราง.....	๘
สารบัญภาพ.....	๙
คำอธิบายสัญลักษณ์.....	๑
บทที่ 1 บทนำ	
1.1 ที่มาและความสำคัญ.....	1
1.2 วัตถุประสงค์ของวิทยานิพนธ์.....	2
1.3 ขอบเขตของวิทยานิพนธ์.....	3
1.4 ขั้นตอนดำเนินงานวิจัยโดยย่อ.....	3
1.5 ประโยชน์ที่คาดว่าจะได้รับ.....	3
บทที่ 2 ทฤษฎี	
2.1 ทฤษฎีความคืบ.....	4
2.1.1 กราฟพุติกรรมการคืบ.....	4
2.1.2 ปัจจัยที่มีผลต่อพุติกรรมการคืบ.....	6
2.2 ทฤษฎีการถ่ายเทความร้อน.....	7
2.2.1 การนำความร้อนผ่านผนังรากหลายชั้น.....	8
2.2.2 การนำความร้อนผ่านผนังทรงกระบอกหลายชั้น.....	8
2.2.3 การพาความร้อนแบบธรรมชาติของแผ่นแนวตั้ง.....	9
2.2.4 การพาความร้อนแบบธรรมชาติของแผ่นแนวโน้ม.....	11
2.2.5 การถ่ายเทความร้อนผ่านครึ่งทรงกระบอก.....	12
2.2.6 การแพร่องสีระหว่างวัตถุขนาดเล็กกับวัตถุขนาดใหญ่.....	13
2.3 ทฤษฎีการควบคุมแบบพีไอดี.....	14
2.3.1 หลักการทั่วไป.....	14
2.3.2 ส่วนประกอบและหลักการทำงานของระบบควบคุมแบบพีไอดี.....	16

สารบัญ (ต่อ)

หน้า

บทที่ 3 การสร้างระบบวิธีเพื่อการออกแบบเครื่องทดสอบความคืบ	
3.1 ภาพรวมของการออกแบบ.....	17
3.2 ส่วนประกอบหลักและการทำงานของเครื่องทดสอบความคืบ.....	18
3.2.1 ส่วนประกอบหลัก.....	18
3.2.2 หลักการทำงานของเครื่องทดสอบความคืบ.....	20
3.3 ขั้นตอนการออกแบบเครื่องทดสอบความคืบ.....	21
3.3.1 การกำหนดลักษณะจำเพาะของเครื่องทดสอบ.....	23
3.3.2 การออกแบบชิ้นงานทดสอบ.....	26
3.3.3 การออกแบบก้านดึงชิ้นงานและอุปกรณ์จับยึด.....	27
3.3.4 การออกแบบเดาความร้อน.....	30
3.3.5 การออกแบบโครงของเครื่องทดสอบ	33
3.3.6 การออกแบบก้านดึงคานทดสอบและตัวจับยึดคานทดสอบ (ส่วนหน้า)...	35
3.3.7 การออกแบบคานทดสอบ.....	36
3.3.8 การออกแบบอุปกรณ์ควบคุมอุณหภูมิ.....	37
บทที่ 4 ผลการออกแบบ	
4.1 ลักษณะจำเพาะของเครื่องทดสอบ.....	38
4.1.1 สภาพทดสอบ.....	38
4.1.2 วิธีให้ความร้อนกับชิ้นงานทดสอบ.....	40
4.1.3 วิธีให้ภาระกับชิ้นงานทดสอบ.....	41
4.1.4 ลักษณะโดยรวมของโครงสร้าง.....	42
4.2 ผลการออกแบบชิ้นงานทดสอบ.....	42
4.3 ผลการออกแบบก้านดึงชิ้นงานทดสอบและอุปกรณ์จับยึด.....	47
4.3.1 ผลการออกแบบก้านดึงชิ้นงานทดสอบและอุปกรณ์จับยึด(ด้านบน)....	47
4.3.2 ผลการออกแบบก้านดึงชิ้นงานทดสอบและอุปกรณ์จับยึด(ด้านล่าง)....	60
4.4 ผลการออกแบบเดาความร้อน.....	66
4.4.1 ผลการเลือกชุดให้ความร้อนสำเร็จวุป.....	66
4.4.2 ผลการออกแบบเดาความร้อน.....	68
4.5 ผลการออกแบบโครงของเครื่องทดสอบ.....	80
4.6 ผลการออกแบบก้านดึงคานทดสอบและตัวจับยึดคานทดสอบ (ส่วนหน้า).....	87

สารบัญ (ต่อ)

	หน้า
4.7 ผลการออกแบบงานทดสอบและตั้มน้ำหนักปรับสมดุล.....	97
4.8 ผลการออกแบบระบบควบคุมอุณหภูมิ.....	107
บทที่ 5 การสร้างและทดสอบเครื่องทดสอบความคืบ	
5.1 ขั้นตอนการสร้าง.....	112
5.2 การสร้างเตาความร้อน.....	112
5.3 การสร้างระบบควบคุมอุณหภูมิ.....	116
5.4 สร้างโครงและชิ้นส่วนต่างๆ.....	118
บทที่ 6 การตรวจสอบคุณภาพของเครื่องทดสอบ	
6.1 บทนำ.....	128
6.2 การวัดเบอร์เซ็นต์การดัดของชิ้นงานทดสอบและอัตราทดสอบของงานทดสอบ.....	128
6.2.1 อุปกรณ์.....	128
6.2.2 ขั้นตอนการวัด.....	131
6.2.3 ผลการวัด และการวิเคราะห์ผล.....	131
6.3 การวัดอุณหภูมิสูงสุดที่เตาความร้อนสามารถทำได้.....	143
6.3.1 อุปกรณ์.....	143
6.3.2 ขั้นตอนการวัด.....	144
6.3.3 ผลการวัด.....	146
6.4 การวัดความเที่ยงของการควบคุมอุณหภูมิ.....	147
6.4.1 ผลการทดลองในสภาวะที่ไม่มีลมพัด.....	147
6.4.2 ผลการทดลองในสภาวะที่มีลมพัด.....	152
6.5 การวัดอุณหภูมิตามแนวแกนและแนวเส้นรอบวงของชิ้นงานทดสอบ.....	153
6.5.1 อุปกรณ์.....	153
6.5.2 ขั้นตอนการตั้งคุณย์เตาความร้อน.....	154
6.5.3 ขั้นตอนการวัดอุณหภูมิ.....	154
6.5.4 ผลการวัด.....	156
บทที่ 7 การอภิปรายผลการตรวจสอบ	
7.1 ความแข็งเก็งของชุดให้การะชิ้นงานทดสอบ.....	157
7.2 การวิเคราะห์อัตราทดสอบของงานทดสอบ.....	158
7.2.1 อัตราทดสอบของงานทดสอบที่ได้จากการออกแบบและการสร้าง	158

สารบัญ (ต่อ)

	หน้า
7.2.2 การหาอัตราทดแรงด้วยวิธีเรขาคณิต.....	159
7.3 อุณหภูมิสูงสุดที่เดาความร้อนทำได้.....	161
7.4 อัตราการทำความร้อน.....	161
7.5 ความเที่ยงของการควบคุมอุณหภูมิ.....	161
7.6 การกระจายอุณหภูมินิวชีนงานทดสอบ.....	162
บทที่ 8 สรุปผลการวิจัยและข้อเสนอแนะ	
8.1 สรุปผลการวิจัย.....	165
8.1.1 ข้อสรุปโดยรวม.....	165
8.1.2 ข้อสรุปเกี่ยวกับคุณภาพของเครื่องทดสอบ.....	165
8.2 ข้อเสนอแนะ.....	166
8.2.1 ข้อเสนอแนะเกี่ยวกับการออกแบบเดาความร้อน.....	166
8.2.2 ข้อเสนอแนะเกี่ยวกับการออกแบบและสร้างโครงของเครื่องทดสอบ...	166
8.2.3 ข้อเสนอแนะเกี่ยวกับการออกแบบและสร้างชุดส่งถ่ายภาวะ.....	166
8.2.4 ข้อเสนอแนะสำหรับการตรวจสอบคุณภาพ.....	167
รายการข้างอิง.....	168
ภาคผนวก	
ภาคผนวก ก ผลการวัดความเครียดบนโหลดเซลเนื่องจากการถ่วงตู้มัน้ำหนัก.....	171
ภาคผนวก ข ผลการวัดอุณหภูมิกายในเตา	179
ภาคผนวก ค วิธีการใช้เครื่องทดสอบความคึบแบบแกนเดียวและเครื่องควบคุมอุณหภูมิ..	181
ภาคผนวก ง แบบประกอบและแบบรายละเอียดของเครื่องทดสอบความคึบ แบบแกนเดียว.....	188
ประวัติผู้เขียนวิทยานิพนธ์.....	229

สารบัญตาราง

หน้า

ตารางที่ 2.1	ผลของอุณหภูมิต่อพฤติกรรมการคีบในบริเวณต่าง ๆ	5
ตารางที่ 4.1	น้ำหนักสูงสุดของตุ่มน้ำหนัก และความสูงสุทธิของตุ่มน้ำหนัก.....	40
ตารางที่ 4.2	ระยะเวลาในการทำอุณหภูมิให้ถึงค่าที่ต้องการและกำลังความร้อน ที่ต้องการ.....	80
ตารางที่ 4.3	พิกัดของจุดต่อ และสมบัติของหน้าตัดของเคลิเมนต์ต่าง ๆ	85
ตารางที่ 4.4	แสดงรายละเอียดของชิ้นส่วนต่างๆ เพื่อหาจุดศูนย์ต่อ.....	87
ตารางที่ 6.1	ระยะเคลื่อนตัวของชุดให้ภาวะชั้นงานทดสอบ δ _{II} (มม).....	132
ตารางที่ 6.2	ผลการคำนวณอัตราทดของคานทดแรง.....	135
ตารางที่ 6.3	เปอร์เซ็นต์การตัด กรณีคานทดแรงเอียงทำมุม 0 องศากับแนวระดับ.....	141
ตารางที่ 6.4	เปอร์เซ็นต์การตัด กรณีคานทดแรงเอียงทำมุม 10 องศากับแนวระดับ.....	142
ตารางที่ ก.1	ความเครียดบนโหลดเฉลี่ยในการทดลองครั้งที่ 1 (คานทดแรงอยู่ในแนวระดับ) ...	171
ตารางที่ ก.2	ความเครียดบนโหลดเฉลี่ยในการทดลองครั้งที่ 2 (คานทดแรงอยู่ในแนวระดับ) ...	172
ตารางที่ ก.3	ความเครียดบนโหลดเฉลี่ยในการทดลองครั้งที่ 3 (คานทดแรงอยู่ในแนวระดับ) ...	173
ตารางที่ ก.4	ความเครียดบนโหลดเฉลี่ยในการทดลองครั้งที่ 4 (คานทดแรงอยู่ในแนวระดับ) ...	174
ตารางที่ ก.5	ความเครียดบนโหลดเฉลี่ยในการทดลองครั้งที่ 1 (คานทดแรงเอียงทำมุม 10 องศากับแนวระดับ).....	175
ตารางที่ ก.6	ความเครียดบนโหลดเฉลี่ยในการทดลองครั้งที่ 2 (คานทดแรงเอียงทำมุม 10 องศากับแนวระดับ).....	176
ตารางที่ ก.7	ความเครียดบนโหลดเฉลี่ยในการทดลองครั้งที่ 3 (คานทดแรงเอียงทำมุม 10 องศากับแนวระดับ).....	177
ตารางที่ ก.8	ความเครียดบนโหลดเฉลี่ยในการทดลองครั้งที่ 4 (คานทดแรงเอียงทำมุม 10 องศากับแนวระดับ).....	178
ตารางที่ ข.1	อุณหภูมิที่ผิวชิ้นงานตามแนวเส้นรอบวงและแนวแกนในการวัดครั้งที่ 1.....	179
ตารางที่ ข.2	อุณหภูมิที่ผิวชิ้นงานตามแนวเส้นรอบวงและแนวแกนในการวัดครั้งที่ 2.....	179
ตารางที่ ข.3	อุณหภูมิที่ผิวชิ้นงานตามแนวเส้นรอบวงและแนวแกนในการวัดครั้งที่ 3.....	180
ตารางที่ ง.1	แสดงรายชื่อและจำนวนของชิ้นส่วนต่างๆ	188

สารบัญภาพ

	หน้า
รูปที่ 2.1 เส้นกราฟพฤติกรรมการคีบ.....	5
รูปที่ 2.2 พฤติกรรมการคีบที่อุณหภูมิและความเด็นต่างๆ.....	6
รูปที่ 2.3 กราฟการเสียหายคีบ.....	6
รูปที่ 2.4 ใหมดการสูญเสียความร้อนของเตาความร้อน.....	7
รูปที่ 2.5 การถ่ายเทความร้อนผ่านผนังทราบหลายชั้น.....	8
รูปที่ 2.6 การนำความร้อนใน 1 มิติผ่านผนังทรงกระบอกหลายชั้น.....	9
รูปที่ 2.7 การประมาณผนังเตาด้านนอกให้เป็นเสมือนแผ่นแบบตั้งฉากในแนวตั้ง.....	10
รูปที่ 2.8 การพากความร้อนสำหรับแผ่นแบบบางในแนวระดับ (ก) ผิวนอน (ข) ผิวล่าง.....	11
รูปที่ 2.9 การถ่ายเทความร้อนผ่านครึ่งกลม.....	13
รูปที่ 2.10 การแร้งสีระหว่างวัตถุใหญ่ที่ล้อมรอบวัตถุเล็ก.....	14
รูปที่ 2.11 รูปจำลองของระบบควบคุมแบบพีโอดี.....	16
รูปที่ 3.1 ขั้นตอนโดยรวมในการออกแบบและการสร้างเครื่องทดสอบความคีบ.....	18
รูปที่ 3.2 ส่วนประกอบหลักของเครื่องทดสอบความคีบแบบแกนเดียว.....	19
รูปที่ 3.3 ไดอะแกรมแสดงส่วนประกอบ และหลักการทำงานของอุปกรณ์ควบคุมอุณหภูมิ.....	21
รูปที่ 3.4 องค์ประกอบของเครื่องทดสอบความคีบแบบเดียวและความสัมพันธ์ระหว่างองค์ประกอบ.....	21
รูปที่ 3.5 ลำดับการออกแบบส่วนประกอบของเครื่องทดสอบความคีบ.....	22
รูปที่ 3.6 ขั้นตอนการกำหนดอุณหภูมิออกแบบ.....	24
รูปที่ 3.7 ขั้นตอนการกำหนดภาระออกแบบ.....	25
รูปที่ 3.8 ขั้นตอนการกำหนดรูปร่างและขนาดของชิ้นงานทดสอบ.....	27
รูปที่ 3.9 ขั้นตอนการออกแบบอุปกรณ์จับยึดและก้านดึงชิ้นงานท่อนบน.....	28
รูปที่ 3.10 ขั้นตอนการออกแบบอุปกรณ์จับยึดและก้านดึงชิ้นงานท่อนล่าง.....	30
รูปที่ 3.11 ขั้นตอนการเลือกชุดให้ความร้อนสำเร็จรูป.....	31
รูปที่ 3.12 ขั้นตอนออกแบบเตาความร้อน.....	33
รูปที่ 3.13 ขั้นตอนการออกแบบโครงของเครื่องทดสอบความคีบ.....	34
รูปที่ 3.14 ขั้นตอนการออกแบบก้านดึงคานทดสอบและอุปกรณ์จับยึด.....	35
รูปที่ 3.15 ขั้นตอนออกแบบคานทดสอบ.....	36
รูปที่ 3.16 ขั้นตอนการออกแบบระบบควบคุมอุณหภูมิ.....	37
รูปที่ 4.1 ส่วนประกอบต่าง ๆ ของระบบให้ภาระกับชิ้นงานทดสอบ.....	41

สารบัญภาพ (ต่อ)

๙๓

	หน้า
รูปที่ 4.2 รูปร่าง และตัวแปรของมิติ ของชิ้นงานทดสอบ.....	43
รูปที่ 4.3 รูปร่างและตัวแปรของมิติของก้านดึงชิ้นงานที่ออกแบบ.....	49
รูปที่ 4.4 รูปร่างและตัวแปรระบุขนาด ของก้านดึงชิ้นงานทดสอบ (ด้านความทดสอบ).....	54
รูปที่ 4.5 รูปร่างและตัวแปรระบุขนาดของตัวจับยึดความทดสอบ.....	54
รูปที่ 4.6 ภาพประกอบของการจับยึดระหว่างก้านดึงชิ้นงานทดสอบกับตัวจับยึดความทดสอบ ด้วยสลัก.....	56
รูปที่ 4.7 รูปร่าง และตัวแปรของขนาดของ ตัวจับยึดชิ้นงาน.....	59
รูปที่ 4.8 วิธีจับยึดจากฐานเครื่องทดสอบถึงปลายของก้านดึงชิ้นงานทดสอบท่อนล่าง.....	61
รูปที่ 4.9 ตัวจับยึดอุปกรณ์ปรับระยะตามแนวแกน.....	62
รูปที่ 4.10 อุปกรณ์ปรับระยะ และตัวแปรของมิติ.....	63
รูปที่ 4.11 ชิ้นงานทดสอบที่ติดตั้งกับตัวจับยึดชิ้นงานทดสอบ.....	67
รูปที่ 4.12 ภาพด้านบนเปลี่ยอกเดาขณะที่ประกอบกัน.....	68
รูปที่ 4.13 ภาพตัดด้านข้างของเปลือกเตาแต่ละชีก.....	69
รูปที่ 4.14 ภาพตัดด้านข้างของเตาความร้อนและใหมดการสูญเสียความร้อน.....	70
รูปที่ 4.15 ภาพตัดด้านข้างของเตาความร้อน เพื่อแสดงการสูญเสียความร้อน ที่ผิดด้านบนของเตาความร้อน.....	74
รูปที่ 4.16 การสูญเสียความร้อนผ่านก้านดึงชิ้นงาน.....	76
รูปที่ 4.17 ปริมาณความร้อนที่สูญเสียผ่านก้านดึงชิ้นงาน.....	76
รูปที่ 4.18 แสดงแบบร่างโครงของเครื่องทดสอบ.....	81
รูปที่ 4.19 ภาพด้านบนของเปลือกเตาสำหรับประกอบการหาเนื้อที่ใช้โดยด้านกว้าง.....	81
รูปที่ 4.20 ภาพวิวข้างของเครื่องทดสอบ แสดงตำแหน่งของความทดสอบเพื่อประกอบการหา ความลึกของเครื่องทดสอบ.....	83
รูปที่ 4.21 แบบจำลองไฟไนต์เอลิเมนต์ของโครงเครื่องทดสอบ.....	84
รูปที่ 4.22 ลักษณะการเสียรูปของโครงสร้าง.....	85
รูปที่ 4.23 แสดงน้ำหนักของส่วนต่าง ๆ เพื่อหาจุดศูนย์ถ่วงของโครงสร้าง.....	86
รูปที่ 4.24 การจับยึดระหว่างก้านดึงความทดสอบกับความทดสอบและงานรองตู้ม้ำหนัก.....	88
รูปที่ 4.25 การจับยึดระหว่างก้านดึงความทดสอบกับงานรองตู้ม้ำหนัก.....	89
รูปที่ 4.26 ภาพหน้าตัดของงานรองตู้ม้ำหนัก และขนาด.....	92
รูปที่ 4.27 รูปร่าง และตัวแปรของขนาดของ ตัวจับยึดความทดสอบ (ด้านที่แขวนตู้ม้ำหนัก) ..	93
รูปที่ 4.28 ภาระที่กระทำต่อสลักยึดก้านดึงความทดสอบกับตัวจับยึดความทดสอบ.....	94

สารบัญภาพ (ต่อ)

	หน้า
รูปที่ 4.29 คานหดแรง.....	98
รูปที่ 4.30 แท่นรองรับคานหดแรง.....	99
รูปที่ 4.31 ลักษณะหน้าตัดของสลักคมมีด.....	100
รูปที่ 4.32 ตำแหน่งของสลักคมมีดและภาระที่กระทำต่อสลัก.....	100
รูปที่ 4.33 ผังวัตถุอิสระของคานหดแรง.....	100
รูปที่ 4.34 คานแบบ simply support ที่รับแรงแบบจุด 2 แรง ห่างจากปลายเท่า ๆ กัน.....	102
รูปที่ 4.35 คานหดแรงและตัวแปรของมิติ.....	104
รูปที่ 4.36 แสดงการหมุนของคานหดแรงรอบจุดหมุน A.....	107
รูปที่ 4.37 แสดงการต่ออนุกรมของขดลวดความร้อนในชุดให้ความร้อน 2 ชิ้น.....	108
รูปที่ 4.38 บล็อกไดอะแกรมการเดินสายไฟฟ้าในกล่องควบคุมอุณหภูมิ.....	111
รูปที่ 4.39 แสดงรายละเอียดการเดินสายไฟฟ้าในกล่องควบคุมอุณหภูมิ.....	111
รูปที่ 5.1 เปลืออกเตา.....	113
รูปที่ 5.2 ชนวนด้านข้าง.....	113
รูปที่ 5.3 ชนวนด้านบนและด้านล่าง.....	114
รูปที่ 5.4 ชุดให้ความร้อน 2 ชีก.....	114
รูปที่ 5.5 เตาความร้อนเป็นรูปครึ่งวงกลม 2 ชีก.....	115
รูปที่ 5.6 เตาความร้อน.....	115
รูปที่ 5.7 อุปกรณ์สำหรับเครื่องควบคุมอุณหภูมิ.....	117
รูปที่ 5.8 กล่องควบคุมอุณหภูมิและเทอร์โมคัปเปิล.....	118
รูปที่ 5.9 การตรวจสอบการติดตั้งที่รองรับสลักคมมีด.....	120
รูปที่ 5.10 การติดตั้งที่รองรับสลักคมมีดบนคานบน.....	120
รูปที่ 5.11 การติดตั้งแผ่นเหล็กสำหรับรองรับคานกลางด้วยการเชื่อม.....	121
รูปที่ 5.12 การประกอบเสาคานบนและแผ่นเหล็กสำหรับรองรับคานกลางด้วยการเชื่อม.....	121
รูปที่ 5.13 การติดตั้งเสาที่เชื่อมติดกับคานบนแล้วเข้ากับฐานของเครื่องหดสอบ.....	122
รูปที่ 5.14 ตัวจับยึดอุปกรณ์ปรับระยะตามแนวแกน ตัวจับยึดคานหดแรง และสลัก.....	122
รูปที่ 5.15 คานหดแรง แผ่นเสริมแรง และชีแมลมปี.....	123
รูปที่ 5.16 คานหดแรง สลักคมมีด ตัวจับยึดคานหดแรง น้ำหนักปรับสมดุลและได้ขั้ลเกจ.....	123
รูปที่ 5.17 ตัวปรับระยะตามแนวแกน ก้านปรับระยะ และก้านหมุนปรับระยะ.....	124
รูปที่ 5.18 ชิ้นงานหดสอบ ก้านดึงชิ้นงานท่อนบนและห่อนล่าง และตัวจับยึดชิ้นงาน.....	124
รูปที่ 5.19 ตัวจับยึดคานหดแรง (ส่วนหน้า) ก้านดึงต่ำน้ำหนัก และสลักขนาด 5 มม.....	125

สารบัญภาพ (ต่อ)

๘

หน้า

รูปที่ 5.20 งานรองตุ้มน้ำหนักที่เชื่อมติดกับก้านดึงตุ้มน้ำหนัก.....	125
รูปที่ 5.21 ชุดคานกลางที่มีแผ่นรองรับเตาเชื่อมติดอยู่บนคานกลาง.....	126
รูปที่ 5.22 ฐานของตัวปรับระยะ ชุดคานทดแรง ชุดใส่น้ำหนัก ชุดคานกลาง และชิ้นส่วนเสริม.....	126
รูปที่ 5.23 เครื่องทดสอบความคืบแบบแกนเดียว.....	127
รูปที่ 6.1 โหลดเซล.....	129
รูปที่ 6.2 สเตรนไมเตอร์.....	129
รูปที่ 6.3 การต่อวงจร half bridge เพื่อเข้าสสเตรนไมเตอร์.....	130
รูปที่ 6.4 ตำแหน่ง และลักษณะการวางตัวของสเตรนเกจบนโหลดเซล.....	130
รูปที่ 6.5 ตำแหน่งของไดอัลเกจ และก้านดึงชิ้นงานทดสอบ.....	130
รูปที่ 6.6 ระยะเคลื่อนตัวของชุดให้ภาระชิ้นงานทดสอบที่ขนาดตุ้มน้ำหนักต่าง ๆ	133
รูปที่ 6.7 ความสัมพันธ์ระหว่างความเครียดเฉลี่ย และขนาดตุ้มน้ำหนัก (กรณีคานทดแรงทำมุม 0 องศา กับแนวระดับ).....	134
รูปที่ 6.8 ตำแหน่งของสเตรนเกจในการทดลองเพื่อวัดเบอร์เซ็นต์การดัด.....	136
รูปที่ 6.9 ความเครียดดัด ณ ตำแหน่งต่าง ๆ ใน การทดลองครั้งที่ 1 (คานทดแรงทำมุม 0 องศา กับแนวระดับ).....	137
รูปที่ 6.10 ความเครียดดัด ณ ตำแหน่งต่าง ๆ ใน การทดลองครั้งที่ 2 (คานทดแรงทำมุม 0 องศา กับแนวระดับ).....	137
รูปที่ 6.11 ความเครียดดัด ณ ตำแหน่งต่าง ๆ ใน การทดลองครั้งที่ 3 (คานทดแรงทำมุม 0 องศา กับแนวระดับ).....	138
รูปที่ 6.12 ความเครียดดัด ณ ตำแหน่งต่าง ๆ ใน การทดลองครั้งที่ 4 (คานทดแรงทำมุม 0 องศา กับแนวระดับ).....	138
รูปที่ 6.13 ความเครียดดัด ณ ตำแหน่งต่าง ๆ ใน การทดลองครั้งที่ 1 (คานทดแรงทำมุม 10 องศา กับแนวระดับ).....	139
รูปที่ 6.14 ความเครียดดัด ณ ตำแหน่งต่าง ๆ ใน การทดลองครั้งที่ 2 (คานทดแรงทำมุม 10 องศา กับแนวระดับ).....	139
รูปที่ 6.15 ความเครียดดัด ณ ตำแหน่งต่าง ๆ ใน การทดลองครั้งที่ 3 (คานทดแรงทำมุม 10 องศา กับแนวระดับ).....	140
รูปที่ 6.16 ความเครียดดัด ณ ตำแหน่งต่าง ๆ ใน การทดลองครั้งที่ 4 (คานทดแรงทำมุม 10 องศา กับแนวระดับ).....	140

สารบัญภาพ (ต่อ)

	หน้า
รูปที่ 6.17 ชิ้นงานทดสอบจำลองที่เชื่อมเทอร์โมคัปเปิล 8 ตำแหน่ง เรียงเป็นแนวเดียว.....	143
รูปที่ 6.18 เครื่องคอมพิวเตอร์ data logger และเครื่องทดสอบความคีบ.....	147
รูปที่ 6.19 ตำแหน่งของชิ้นงานทดสอบและตำแหน่งของเทอร์โมคัปเปิล.....	144
รูปที่ 6.20 ลักษณะการติดตั้งชิ้นงานทดสอบกับเครื่องทดสอบความคีบเพื่อวัดอุณหภูมิ.....	145
รูปที่ 6.21 ระดับอ้างอิง.....	145
รูปที่ 6.22 กราฟระหว่างอุณหภูมิบันชิ้นงานทดสอบกับเวลา (ช่วง 1.7 ชั่วโมงแรก).....	146
รูปที่ 6.23 กราฟระหว่างอุณหภูมิบันชิ้นงานทดสอบกับเวลา (ช่วง 1.7 – 4.2 ชั่วโมง).....	146
รูปที่ 6.24 กราฟระหว่างอุณหภูมิบันชิ้นงานทดสอบกับเวลา (ช่วง 4.2 – 7.3 ชั่วโมง).....	147
รูปที่ 6.25 อุณหภูมิบันชิ้นงานทดสอบ ณ ตำแหน่ง T_1 ในช่วงเพิ่มอุณหภูมิถึงค่าที่ตั้ง.....	148
รูปที่ 6.26 อุณหภูมิบันชิ้นงานทดสอบ ณ ตำแหน่ง T_1 ในช่วงเวลา 21:09:15 -00:16:30 น....	148
รูปที่ 6.27 อุณหภูมิบันชิ้นงานทดสอบ ณ ตำแหน่ง T_1 ในช่วงเวลา 00:18:18 - 04:46:48น....	149
รูปที่ 6.28 อุณหภูมิบันชิ้นงานทดสอบ ณ ตำแหน่ง T_1 ในช่วงเวลา 05:05:08 - 09:27:50น....	149
รูปที่ 6.29 อุณหภูมิบันชิ้นงานทดสอบ ณ ตำแหน่ง T_1 ในช่วงเวลา 09:29:09 - 13:52:34น....	150
รูปที่ 6.30 อุณหภูมิบันชิ้นงานทดสอบ ณ ตำแหน่ง T_1 ในช่วงเวลา 13:54:11 - 14:34:02น....	150
รูปที่ 6.31 อุณหภูมิบันชิ้นงานทดสอบ ณ ตำแหน่ง T_1 ในช่วงเวลา 14:37:50 - 18:40:30น....	151
รูปที่ 6.32 อุณหภูมิบันชิ้นงานทดสอบ ณ ตำแหน่ง T_1 ในช่วงเวลา 18:42:05 - 22:38:03น....	151
รูปที่ 6.33 อุณหภูมิบันชิ้นงานทดสอบ ณ ตำแหน่ง T_1 ในช่วงเวลา 22:40:50 - 02:09:23น....	152
รูปที่ 6.34 อุณหภูมิบันชิ้นงานทดสอบ ณ ตำแหน่ง T_1 ในช่วงเวลา 02:11:30 - 06:34:06น....	152
รูปที่ 6.35 อุปกรณ์สำหรับตั้งศูนย์เตาความร้อน.....	153
รูปที่ 6.36 เครื่องอ่านอุณหภูมิ และตัวเลือกช่องสัญญาณ.....	153
รูปที่ 6.37 วิธีตั้งศูนย์เตาความร้อน (แผ่นเหล็กกลมอยู่ในตำแหน่งล่างสุด).....	154
รูปที่ 7.1 ตำแหน่งของจุดที่เชื่อมต่อกับชิ้นส่วนอื่น ๆ บนงานทดสอบ.....	158
รูปที่ 7.2 ค่าเฉลี่ยของอุณหภูมิบันเฉือนรอบวงที่ระยะได ๆ วัดจากระดับอ้างอิง.....	163
รูปที่ 7.3 การกระจายอุณหภูมิตามแนวแกนของชิ้นงานทดสอบและบริเวณที่มีอุณหภูมิแตกต่างกันไม่เกิน 6 องศาเซลเซียส.....	164

คำอธิบายสัญลักษณ์

- ε คือ ความเครียด, ค่าการแผ่รังสี (emissivity) ซึ่งแสดงประสิทธิภาพการแผ่รังสี เมื่อเปรียบเทียบกับวัตถุดำ ซึ่งมีค่า ε เท่ากับ 1 ดังนั้น $0 \leq \varepsilon \leq 1$
- ε_i คือ ความเครียดที่วัดได้จากสตอร์นเกจ ;
- $\varepsilon_{m,i}$ คือ ความเครียดเฉลี่ยในการทดลองครั้งที่ i ;
- $\bar{\varepsilon}$ คือ ค่าเฉลี่ยของความเครียดเฉลี่ย $\varepsilon_{m,i}$
- ε_a คือ แอมพลิจูดความเครียด
- ε_m คือ ค่าเฉลี่ยของความเครียด
- ν คือ Kinematic viscosity ของอากาศ (m^2/s)
- ν_{max} คือ ระยะแอนต์วัสดุสูงสุดของ canon (mm)
- α คือ Thermal diffusivity ของอากาศ (m^2/s), มุมเอียงของคานท่อแรง (degree)
- θ_i คือ มุมเอียง (degree)
- θ_b คือ อุณหภูมิที่แตกต่างกัน ($^{\circ}C$)
- ρ คือ ความหนาแน่นของวัสดุ (kg/m^3), รสมีความคงของพิลเลตที่ป่าเพลา (mm)
- n คือ จำนวนเกลี้ย
- η คือ ประสิทธิภาพของเตาความร้อน
- δ_{lt} คือ ระยะเคลื่อนตัวของชุดให้การซึ่งงานทดสอบ (mm)
- δ_{dial} คือ ระยะเคลื่อนตัวของไดอัลเกจ (mm)
- σ คือ ความเดัน (Pa), stefan-boltzmann constant ซึ่งมีค่าเท่ากับ $5.67 \times 10^{-8} W/m^2.K$
- $\sigma_{u,RT}$ คือ ความต้านแรงดึงที่ต่ำที่สุด ณ อุณหภูมิห้อง (MPa)
- $\sigma_{u,HT}$ คือ ความต้านแรงดึง ณ อุณหภูมิใช้งาน (MPa)
- $\sigma_{y,RT}$ คือ ความต้านแรงดึงครากต่ำสุด (MPa)
- $\sigma_{y,HT}$ คือ ความต้านแรงดึงครากที่ต่ำที่สุด ณ อุณหภูมิใช้งาน (MPa)
- $\sigma_{c_I\%}$ คือ ความเดันที่ทำให้เกิดความเครียดคืน 1 เปอร์เซ็นต์ใน 10^5 ชั่วโมง (MPa)
- σ_{allow} คือ ความเดันที่ยอมรับได้ (MPa)
- σ_y คือ ความต้านแรงดึงคราก (MPa)
- τ_{allow} คือ ความเดันเฉือนที่ยอมรับได้ (MPa)
- τ_y คือ ความเดันเฉือนคราก (MPa)
- $\%b$ คือ เปอร์เซ็นต์การดัด
- A คือ พื้นที่หน้าตัด, พื้นที่สำหรับการถ่ายเทความร้อน (m^2)

คำอธิบายสัญลักษณ์ (ต่อ)

- A_c คือ พื้นที่หน้าตัดของครีบกลม (m^2)
- A_s คือ พื้นที่ผิวรอบครีบกลมวัดจากฐานถึงตำแหน่ง x (m^2)
- A_r คือ พื้นที่หน้าตัดของก้านดึงชิ้นงาน (m^2)
- A_o คือ พื้นผิวด้านนอกเตาความร้อน; $A_o = 2\pi r_3 H$ (m^2)
- b คือ ความสูงของฐานเกลียว ซึ่งมีค่าเท่ากับ $\frac{3}{4} p$ (mm)
ระยะระหว่างผิวของตัวจับยึดคานทดแรง หรือ คานทดแรง ความสูงของฐานเกลียว (mm)
- C คือ ระยะเพื่อสำหรับตัวจับยึดชิ้นงานทดสอบ (mm)
- C_p คือ ความจุความร้อนจำเพาะ ($J/kg \cdot K$)
- D คือ เส้นผ่านศูนย์กลางของครีบกลม, เส้นผ่านศูนย์กลางภายในนอกของปลอก (mm)
- D_G คือ เส้นผ่านศูนย์กลางของตัวจับยึดชิ้นงานทดสอบ (mm)
- D_{rL_n} คือ แทนขนาดเส้นผ่านศูนย์กลางของก้านดึงคานทดแรงส่วนหน้า (mm)
- d_i คือ ขนาดเส้นผ่านศูนย์กลางชิ้นส่วน i (mm)
- d_r คือ ขนาดเส้นผ่านศูนย์กลางของชิ้นส่วน i (mm)
- d_r คือ ขนาดเส้นผ่านศูนย์กลางของก้านดึงชิ้นงานทดสอบ (mm)
- d_{s_n} คือ ขนาดเส้นผ่านศูนย์กลางระบุของดึงชิ้นงานทดสอบ (mm)
- d_{r_n} คือ ขนาดเส้นผ่านศูนย์กลางระบุของก้านดึงชิ้นงานทดสอบ (mm)
- d_{r_r} คือ ขนาดเส้นผ่านศูนย์กลางรากของก้านดึงชิ้นงานทดสอบ (mm)
- d_{s_r} คือ ขนาดเส้นผ่านศูนย์กลางรากของชิ้นงานทดสอบ (mm)
- d_{t_r} คือ ขนาดเส้นผ่านศูนย์กลางรากเกลียวของก้านปรับระยะ (mm)
- d_{t_n} คือ ขนาดเส้นผ่านศูนย์กลางระบุของเกลียวของก้านปรับระยะ (mm)
- d_{rL_n} คือ ขนาดขนาดเส้นผ่านศูนย์กลางของก้านดึงคานทดแรงส่วนหน้า (mm)
- d_{LC} คือ ขนาดเส้นผ่านศูนย์กลางของเหลดเซล (mm)
- E คือ ค่าโมดูลัสของความยืดหยุ่นของเหล็ก (GPa)
- e คือ ระยะเยี้ยงศูนย์ (mm)
- e_U คือ ระยะเยี้ยงศูนย์กลางของชุดให้ภาระท่อนบน (mm)
- e_L คือ ระยะเยี้ยงศูนย์กลางของชุดให้ภาระท่อนล่าง (mm)
- F คือ ขนาดของภาระที่กระทำต่อคาน (N)
- g คือ แรงโน้มถ่วงของโลก (m/s^2)
- H คือ ความสูงของ Heating module (mm)

คำอธิบายสัญลักษณ์ (ต่อ)

- H_i คือ ความสูงของชิ้นส่วน i (mm)
- h คือ สัมประสิทธิ์การพาความร้อนของผิวนอก ,สัมประสิทธิ์การพาความร้อนของครีบ (W/m^2)
ระยะห่างในแนวตั้ง (mm)
- h_i คือ ความสูงของชิ้นส่วนที่ i (mm)
- h_w คือ ความสูงของตุ่มน้ำหนัก (m)
- I คือ moment of inertia (mm^4) , กระแส荷ลด (A)
- K คือ ความแข็งเกร็ง (N/m)
- k คือ อัตราทดของความทดแรง ,thermal conductivity ของอากาศ ($\text{W/m . }^\circ\text{C}$)
- k_t คือ ตัวประ กอบความเค้นหนาแน่น
- k_r คือ สัมประสิทธิ์ของการนำความร้อนของก้านดึงชิ้นงาน ($\text{W/m . }^\circ\text{C}$)
- k_F คือ สัมประสิทธิ์ของการนำความร้อนของ heating modul ($\text{W/m . }^\circ\text{C}$)
- k_I คือ สัมประสิทธิ์ของการนำความร้อนของ insulaion($\text{W/m . }^\circ\text{C}$)
- k_S คือ สัมประสิทธิ์ของการนำความร้อนของ stainless steel ($\text{W/m . }^\circ\text{C}$)
- k_i ค่าสัมประสิทธิ์การนำความร้อนในตัวกลางชั้นที่ i ($\text{W/m . }^\circ\text{C}$)
- L คือ ความยาวคุณลักษณะ (Characteristic length) , ความยาวของก้านดึงชิ้นงาน (m)
- L_B คือ ความยาวคุณลักษณะ (Characteristic length) , ความยาวของก้านดึงชิ้นงาน (m)
- L_i คือ ความหนาของแผ่นชั้นที่ i (m) , ความสูงของเตาทรงกระบอก (m) ,
- L_G คือ ความยาวเกจของชิ้นงานทดสอบ (m) , ความยาวของตัวจับยึดชิ้นงานทดสอบ (mm)
- L_{adj} คือ ระยะใช้งานในแนวแกน ที่อุปกรณ์ปรับระยะสามารถปรับ (mm)
- L_t คือ ความยาวของอุปกรณ์ปรับระยะ (mm)
- L_{ext} คือ ระยะติดตั้งอุปกรณ์วัดระยะเคลื่อนตัว (mm)
- L_C คือ ระยะเพื่อถึงตำแหน่งสิ้นสุดเกลียว (mm)
- L_S คือ ความยาวสุทธิของชิ้นงานทดสอบ (mm)
- L_T คือ ความยาวเกลียวของชิ้นงานทดสอบ (mm)
- L_{Tr} คือ ความยาวเกลียวที่ปลายของก้านดึงชิ้นงานทดสอบ (mm)
- L_{TrL} คือ ความยาวเกลียวที่ปลายของก้านดึงคานทดแรงส่วนหน้า (mm)
- L_G คือ ความยาวเกลียวตัวจับยึดชิ้นงานทดสอบ (mm)
- M_{max} คือ โมเมนต์ด้ดสูงสุด (N.m)
- m_i คือ มวลของชิ้นที่ i (kg)

คำอธิบายสัญลักษณ์ (ต่อ)

- m_w คือ มวลของตุ้มน้ำหนักปรับสมดุล(kg)
- m_i คือ มวลของชิ้นส่วนที่ i (kg)
- Nu คือ Nusselt number
- P คือ เส้นรอบวงของครีบ (perimeter; m) , ภาระทดสอบที่เกิดขึ้นบนชิ้นงานทดสอบ (N), กำลังความร้อนที่ต้องการของஆடให้ความร้อนสำเร็จfully (W)
- Pr คือ Prandtl number
- p คือ ระยะพิเศษ (mm)
- Q_i คือ อัตราการนำความร้อนผ่านผนังของเตาความร้อนชิ้นที่ i (W)
- Q_{Abs} คือ ปริมาณความร้อนที่วัสดุถูกเก็บในช่วงเริ่มต้น (J)
- Q_{Loss} คือ กำลังความร้อนที่สูญเสีย (W)
- Ra คือ Rayleigh number
- r คือ อัตราทดของ canon แรง
- r_i คือ รัศมีด้านในของเตาความร้อนชิ้นที่ i (mm)
- r_o คือ รัศมีด้านนอกของเตาความร้อน (mm)
- SF คือ ตัวประกอบความปลดภัย
- S คือ ความกว้างของโครง (m)
- T คือ อุณหภูมิ ($^{\circ}\text{C}$)
- T_i คือ อุณหภูมิที่ผิว i , อุณหภูมิ เริ่มต้น ($^{\circ}\text{C}$)
- T_{∞} คือ อุณหภูมิของสิ่งแวดล้อม ($^{\circ}\text{C}$)
- T_b คือ อุณหภูมิที่ฐานของครีบกลม ($^{\circ}\text{C}$)
- T_f คือ อุณหภูมิสิ้นสุดของวัตถุ ในที่นี่กำหนดให้เท่ากับอุณหภูมิเฉลี่ยของวัตถุ ($^{\circ}\text{C}$)
- t คือ เวลา (s)
- t_r คือ อายุความคืบ (hr)
- t_F คือ ความหนาของแผ่นปิด ซึ่งทำจากวัสดุเดียวกับชุดให้ความร้อน (mm)
- t_s คือ ความหนาของเปลือกเตา (mm) , ช่วงเวลาเริ่มต้น (s)
- w คือ ภาระที่กระทำต่อปลายก้านดึง canon แรงส่วนหน้า (N)
- w_i คือ ความกว้างของหน้าตัด i (mm)
- w_{max} คือ น้ำหนักของตุ้มน้ำหนัก (kg)
- \bar{x}_i คือ ระยะแนวระดับจากจุดศูนย์ถ่วงของส่วนที่ i ถึงจุดกำเนิด